

بررسی پاکسازی شیمیایی رسوب آلاینده از سطحهای سیلیسیم و کروم دستگاههای صنعتی با استفاده از عاملهای کیلیتکننده

مرتضی خسروی^۱ و سانا ز طالبی^{۲*}

- ۱- استاد شیمی کاربردی، دانشکده شیمی، دانشگاه آزاد اسلامی، واحد تهران شمال، تهران، ایران
 ۲- کارشناس ارشد شیمی کاربردی، دانشکده شیمی، دانشگاه آزاد اسلامی، واحد تهران شمال، تهران، ایران

دریافت: شهریور ۱۳۹۱، بازنگری اول: آبان ۱۳۹۱، بازنگری دوم: دی ۱۳۹۱، پذیرش: بهمن ۱۳۹۱

چکیده: در این پژوهش به منظور پاکسازی آلودگی‌های سرب از سطحهای سیلیسیم و کرومی دستگاههای صنعتی، از محلول پاک‌کننده‌ای شامل هیدروژن پراکسید (به عنوان عامل اکسیدکننده) و نمک دی‌سدیم EDTA (اتیلن دی‌آمین ترا استیک اسید) به عنوان عامل کیلیتکننده استفاده شد. طیفهای UV محلول پاک‌کننده پس از پاکسازی آلودگی‌های سرب، نشان داد که کمپلکس Pb(EDTA) در محلول تشکیل شده است، که تشکیل این کمپلکس می‌تواند در جلوگیری از بازجذب سرب بر سطحهای فلزهای پایه دستگاههای صنعتی نقش مهمی را ایفا کند. با استفاده از بررسی تصویرهای میکروسکوپ الکترونی روشی (SEM) می‌توان دریافت که محلول پیشنهاد شده در شرایط انتخاب شده برای حذف آلودگی‌های سرب، به سطح فلز پایه آسیب نمی‌زند و محلول مناسبی برای این فرایند خواهد بود.

واژه‌های کلیدی: بازجذب، عامل کیلیتکننده، نمک دی‌سدیم EDTA، میکروسکوپ الکترونی روشی (SEM)

مقدمه

دلیل حضور ناخالصی‌های ناخواسته لازم است تا با روش مناسبی فرایند پاکسازی بر این سطحها بدون هیچ‌گونه آسیبی انجام گیرد [۱ و ۴].
 به طور کلی روش‌های پاکسازی آلودگی فلزهای آلوده کننده از سطوح فلزی به سه گروه پاکسازی مکانیکی، پاکسازی مکانیکی-شیمیایی^۱ (CMP) و پاکسازی شیمیایی گروه‌بندی می‌شوند [۱ و ۲].
 مهم‌ترین مشکلی که روش‌های پاکسازی مکانیکی متداول ایجاد می‌کنند، تخریب سطح فلز پایه به دلیل انرژی بالای به کار رفته در فرایند پاکسازی است [۲ و ۵]. روش پاکسازی مکانیکی-

توجه به پدیده آلودگی فلزهای سنتگین مانند نیکل، مس و فلز سرب بر روی سطحهای فلزی دستگاههای صنعتی و بررسی مشکل‌ها و ارزشیابی خسارت ناشی از آن‌ها دارای جنبه‌های اقتصادی است [۱]. در سیاری از دستگاههای صنعتی مدتی پس از استفاده، آلودگی‌هایی در سطحهای آن‌ها به وجود می‌آید که این آلودگی‌ها می‌توانند باعث مختل شدن فعالیت مناسب دستگاه شود. به دلیل کاربردهای متفاوت سطحهای سیلیسیم و کروم در صنعت و فناوری‌های جدید مانند نیم رساناها، صنایع الکترونیک، پوشش‌های فلزی و کاهش کارایی و عملکرد این‌گونه سطحها به

1. Chemical mechanical cleaning

از مشکلات روش های پاکسازی گذشته را ندارد، بلکه فرایند پاکسازی سطوح، از آلودگی سرب در زمان محدود، با بازده بالا، بدون این که آسیبی به سطح فلز پایه وارد شود انجام پذیرفت. با توجه به این مطلب که بهینه سازی فرایندها یکی از مهم ترین فعالیت های جاری صنایع است در این پژوهش از روش بهینه سازی تک متغیری جهت تعیین شرایط مناسب عامل های مؤثر بر فرایند پاکسازی استفاده شد. [۱۳ و ۱۴].

شیمیایی فرایندی است که در طی آن پاکسازی با استفاده از یک محلول شیمیایی که مواد ساینده ای داخل آن به طور معلق قرار گرفته اند، انجام می شود که به دلیل وجود این مواد سایه، سطح فلز پایه آسیب می بیند [۳ و ۶]. از جمله روش های پاکسازی شیمیایی که در چند سال اخیر مورد استفاده قرار می گرفت، محلول های پتاسیم سیانید حل شده در متابول بوده که از آن جهت پاکسازی رسوب فلزه ای آلاینده از سطح سیلیسیم استفاده می کردند که این محلول های شیمیایی بسیار خطرناک بوده و آسیب های جبران ناپذیری به انسان و محیط زیست وارد می سازد [۷، ۸ و ۹]. روش شیمیایی دیگری که به طور گسترده از آن استفاده می شده روش RCA بوده که توسط کرن^۱ و پائوتینن^۲ گسترش پیدا کرد. این روش شامل چندین مرحله پاکسازی با مخلوطی از آمونیم هیدروکسید / هیدروژن پراکسید و مخلوطی از هیدروکلراید / هیدروژن پراکسید بوده است [۷]. به کمک این روش گونه های فلزی آلوده کننده به شکل یون های فلزی M^{n+} تبدیل شده و از سطح فلز پایه برداشته می شد اما پس از مدتی، آلودگی ها دوباره بر سطح فلز پایه جذب می شد که این امر فرایند پاکسازی را مختل می کرد [۸]. استفاده از روش پاکسازی RCA منجر به ایجاد خوردگی در سطح سیلیسیمی فلزه ای پایه دستگاه های صنعتی می گشت [۹]. افزون بر آن، این روش پاکسازی به طور نسبی در دماهای بالا (۵۰ تا ۸۰ درجه سانتی گراد) انجام می گرفت، زیرا توانایی پاکسازی در دمای اتاق کم و ناکافی بوده که این امر فرایند پاکسازی را مشکل تر می ساخت [۱۰ و ۱۱]. شایان ذکر است که در مطالعات اخیر، پژوهشگران به این نتیجه رسیدند که افزودن عامل های کی لیت کننده در محلول های پاک کننده توانایی فرایند پاکسازی را بهبود می بخشد [۱۲].

بخش تجربی

مواد

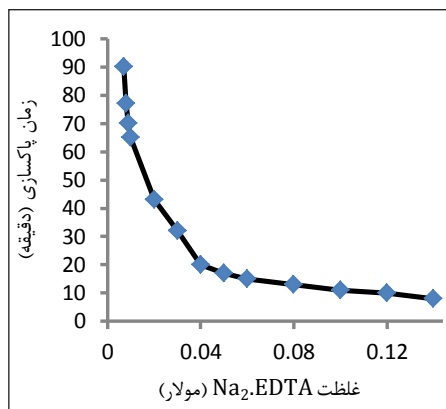
پودر سرب با خلوص ۹۹٪، تهیه شده از شرکت Merck آلمان، $Na_2EDTA \cdot 2H_2O$ تهیه شده از شرکت Merck آلمان و هیدروژن پراکسید / هیدروژن پراکسید و مخلوطی از هیدروکلراید / هیدروژن پراکسید بوده است [۷]. به کمک این روش گونه های فلزی آلوده کننده به شکل یون های فلزی M^{n+} تبدیل شده و از دستگاه های میکروسکوپ الکترونی روبشی (SEM)، ساخت شرکت فیلیپس از کشور هلند، مدل XL30، مجهز به سامانه تجزیه عنصری EDAX^۳ ساخت شرکت EDAX آمریکا مدل XL30 و Carry 100 دستگاه طیف سنج UV ساخت شرکت واریان مدل ۱۰۰

بررسی عامل های مؤثر در فرایند پاکسازی برای آماده سازی محلول پاک کننده، نخست حجم مشخصی از هیدروژن پراکسید ۳۰٪ با توجه به غلظت مورد نظر به عنوان عامل اکسید کننده و نمک دی سدیک اتیلن دی آمین تترا استیک اسید به عنوان عامل کی لیت کننده را به داخل بشر ریخته و محلول به وسیله آب یون زدایی شده به حجم ۱۵۰ میلی لیتر رسانده شد، سپس نیم گرم پودر سرب، به محلول پاک کننده افزوده شد. مخلوط به دست آمده روی همزن مغناطیسی قرار گرفت و مدت زمان لازم جهت اکسید شدن کامل نیم گرم پودر سرب اندازه گیری شد.

به منظور بررسی عامل های مؤثر بر فرایند پاکسازی اثر

در این پژوهش روشی، جهت حذف آلودگی های فلز سرب معرفی شده که با استفاده از آن، پاکسازی سطوح فلزی سیلیسیم و کروم در دمای ۳۰ درجه سانتی گراد و حتی در دماهای پایین تر نیز با استفاده از محلول پاک کننده (آب اکسیژنه و نمک سدیم EDTA) انجام گرفت، این محلول پیشنهادی نه تنها هیچ یک

تترا استیک اسید به عنوان عامل کیلیت‌کننده، بر مدت زمان لازم جهت حل شدن 0.5 g پودر سرب غلظت‌های متفاوتی از نمک دی سدیک اتیلن دی آمین ترا استیک اسید استفاده شد. با توجه به نتیجه بدست آمده در بخش قبلی، از غلظت هیدروژن پراکسید 5% استفاده شد. همچنین در این بررسی دمای 30°C درجه سانتی‌گراد ثابت در نظر گرفته شد. نمودار شکل ۲ بیانگر نتیجه‌های بدست آمده از این بررسی است. با توجه به این نمودار غلظت 0.04 M مولار از نمک دی سدیک اتیلن دی آمین ترا استیک اسید به عنوان مقدار مناسب عامل کیلیت‌کننده برای بررسی‌های دیگر انتخاب شد.

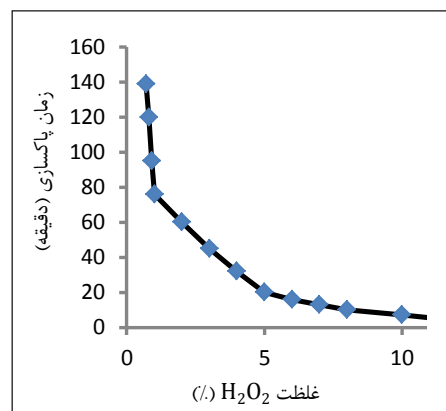


شکل ۲ تغییر زمان اکسایش پودر سرب (0.5 g) نسبت به غلظت H_2O_2 در 150 میلی‌لیتر از محلول 0.04 M مولار Na_2EDTA حاوی 5% هیدروژن پراکسید در 30°C

عامل‌های متفاوت از قبیل غلظت نمک دی سدیک اتیلن دی آمین ترا استیک اسید، غلظت هیدروژن پراکسید و دمای محلول پاک‌کننده، بر فرایند پاک‌سازی رسو ب سرب مورد مطالعه قرار گرفت.

بررسی اثر غلظت عامل اکسیدکننده

برای بررسی اثر غلظت هیدروژن پراکسید در محلول پاک‌کننده غلظت 0.04 M مولار از نمک دی سدیک اتیلن دی آمین ترا استیک اسید و دمای 30°C درجه سانتی‌گراد ثابت در نظر گرفته شد. ولی غلظت‌های متفاوتی از هیدروژن پراکسید به کار گرفته شد. در این شرایط مدت زمان لازم برای اکسایش 0.5 g از پودر سرب اندازه گیری شد (شکل ۱).



شکل ۱ تغییر زمان اکسایش پودر سرب (0.5 g) نسبت به غلظت H_2O_2 در 150 میلی‌لیتر از محلول 0.04 M مولار Na_2EDTA در 30°C

بررسی اثر دما

با توجه به نتیجه‌های بدست آمده از بررسی‌های پیشین، مقدارهای ثابتی را برای عامل کیلیت‌کننده (نمک دی سدیک اتیلن دی آمین ترا استیک اسید (0.04 M مولار)) و عامل اکسیدکننده (هیدروژن پراکسید (5%)) در نظر گرفته شد و با اعمال این شرایط، اثر دماهای متفاوت بر فرایند پاک‌سازی مورد بررسی قرار گرفت که نتیجه‌های به دست آمده به وسیله نمودار شکل ۳ ارایه شده است (جدول ۱). با توجه به این نمودار، دمای 30°C درجه سانتی‌گراد به عنوان دمای مناسب انتخاب شد.

همان‌گونه که در شکل ۱ مشاهده می‌شود با افزایش غلظت هیدروژن پراکسید، زمان لازم برای اکسید شدن 0.5 g از پودر سرب باشد کاهش می‌یابد ولی پس از غلظت 5% زمان با شبیه ملایمی کاهش می‌یابد. از این‌رو، برای رعایت صرفه اقتصادی غلظت 5% برای هیدروژن پراکسید به عنوان مقدار مناسب در نظر گرفته شد.

بررسی اثر غلظت عامل کیلیت‌کننده برای بررسی تأثیر غلظت نمک دی سدیک اتیلن دی آمین

اکسیژن به علت وجود لایه‌های کروم اکسید و سیلیسیم اکسید تشکیل شده در اثر اکسایش این سطح‌ها در محلول پاک‌کننده، پایدار بوده و دچار خوردگی نمی‌شوند [۴].

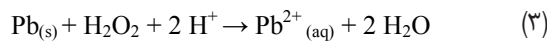
واکنش صورت گرفته در آند:



واکنش صورت گرفته در کاتد:



واکنش سرب با عامل اکسیدکننده:

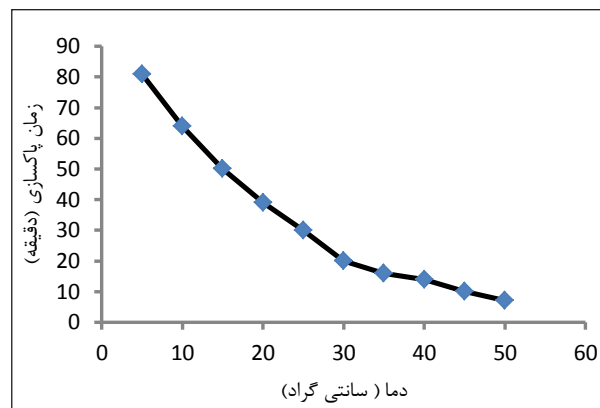


واکنش یون سرب با عامل کیلیتکننده:



حذف سرب از نمونه واقعی سیلیسیم و کروم در شرایط بهینه به منظور مطالعه روش پیشنهادی برای حذف رسوب سرب از سطح نمونه واقعی سیلیسیم و کروم، تأثیر محلول پاک‌کننده بر سطح فلزات پایه مورد بررسی قرار گرفت. بدین منظور، ابتدا به وسیله روش الکتروشیمیایی یک لایه سرب روی سطح فلزات پایه سیلیسیم و کروم قرار داده و با استفاده از دستگاه تجزیه عنصری EDAX مشخص شد که سرب به صورت آلودگی روی سطح سیلیسیم و کروم قرار گرفته است (شکل ۴).

همچنین با استفاده از تصویرهای میکروسکوپ الکترونی روبشی (SEM) وجود سرب بر سطح‌های سیلیسیم و کروم ثابت شد (شکل ۲-ب-ج و شکل ۳-ب-ج). جهت حذف آلودگی‌های سرب از سطح صفحه‌های سیلیسیم و کروم، نمونه را در محلول پاک‌کننده قرار داده و پس از این که مدت زمان لازم برای حذف آلودگی سرب به پایان رسد، بررسی تصویرهای میکروسکوپ الکترونی روبشی (SEM) نشان داد که سطح سیلیسیم و کروم، از رسوب سرب پاک شده بدون این که خوردگی و آسیبی به سطح وارد شود (شکل ۵-د و شکل ۶-د).



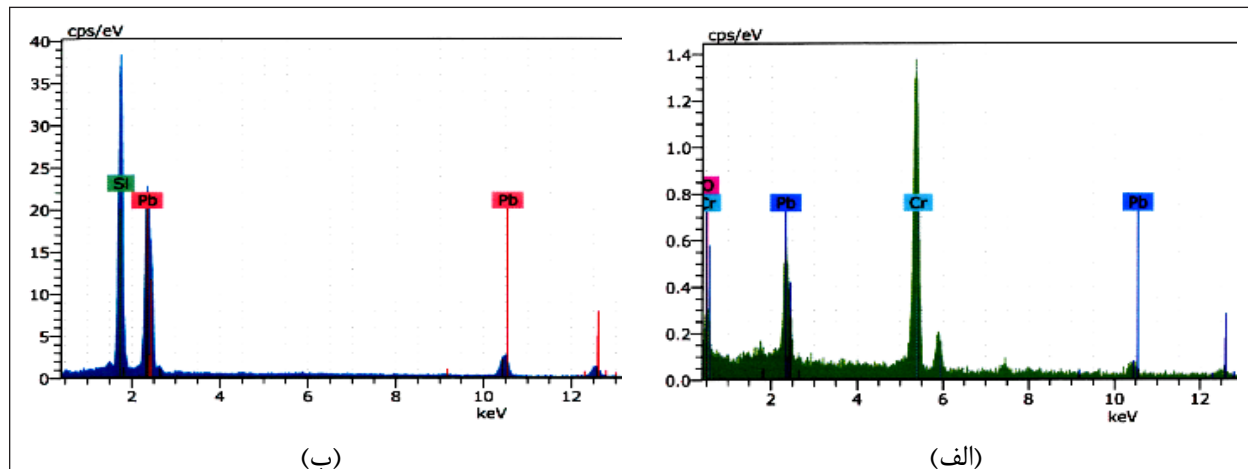
شکل ۳ تغییر زمان اکسایش پودر سرب (۰.۵ گرم) نسبت به غلظت H_2O_2 در ۱۵۰ میلی‌لیتر از محلول ۰.۰۴ مolar Na_2EDTA حاوی ۵٪ هیدروژن پراکسید

جدول ۱ بررسی اثر دما بر زمان پاکسازی محلول پاک‌کننده در غلظت ۰.۰۴ مolar و درصد حجمی ۵٪ هیدروژن پراکسید

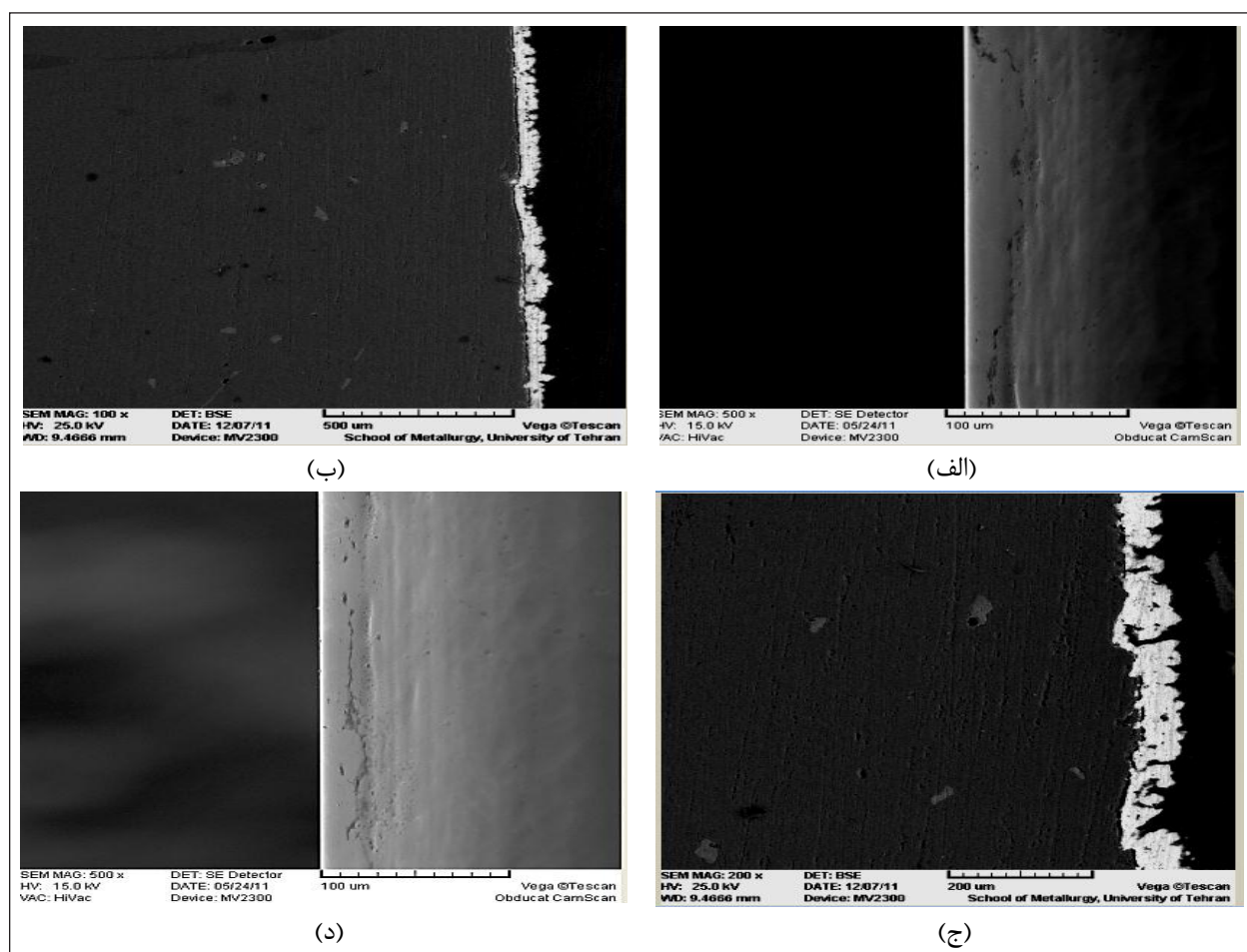
زمان پاکسازی (min)	دما (°C)
81	5
64	10
50	15
39	20
30	25
20	30
16	35
14	40
10	45
7	50

نتیجه‌ها و بحث

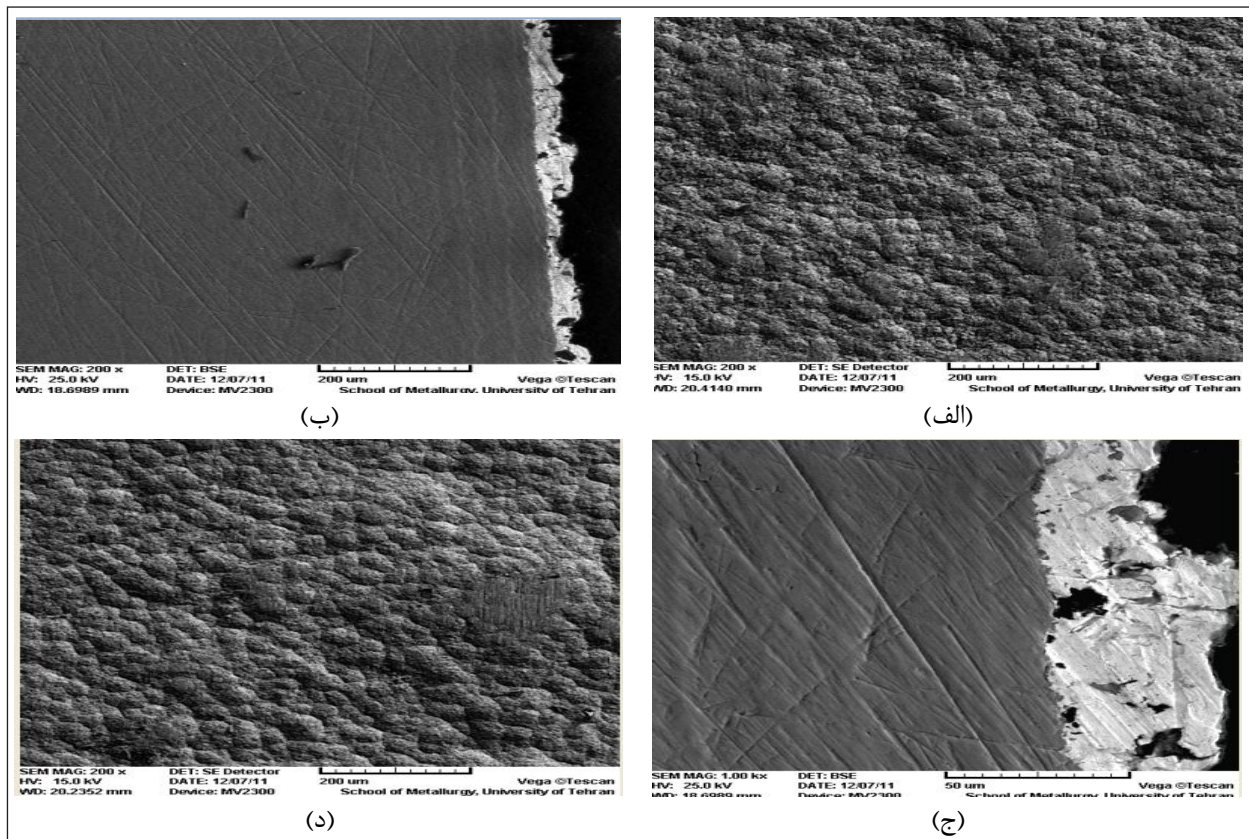
همان طور که ذکر شد محلول پاک‌کننده شیمیایی پیشنهاد شده، بدون این که کوچک‌ترین آسیبی به سطح فلز پایه وارد کند، می‌تواند باعث حذف آلودگی‌های سرب از سطح سیلیسیم و کرومی فلزهای پایه دستگاه‌های صنعتی شود. با توجه به اطلاعات پتانسیل استاندارد می‌توان دریافت که با قرار گرفتن آلاینده سرب در محلول پاک‌کننده به وسیله عامل اکسیدکننده به یون‌های Pb^{2+} تبدیل شده و این یون‌ها با عامل کمپلکس دهنده تشکیل کمپلکس $\text{Pb}(\text{EDTA})$ را می‌دهد. این درحالی است که سطح‌های فلزهای پایه سیلیسیمی و کرومی در محلول‌های الکترولیتی شامل



شکل ۴ طیفهای EDAX نمونه‌ها (الف) سطح کروم پس از قرار گرفتن لایه آلوده‌کننده سرب و (ب) سطح سیلیسیم پس از قرار گرفتن لایه آلوده‌کننده سرب



شکل ۵ تصویرهای میکروسکوپ الکترونی روشنی (SEM) از سطح نمونه‌ها (الف) سطح سیلیسیم قبل از قرار گرفتن لایه آلوده‌کننده سرب، (ب) و (ج) سطح سیلیسیم پس از قرار گرفتن لایه آلوده‌کننده سرب و (د) سطح سیلیسیم پس از فرایند پاکسازی



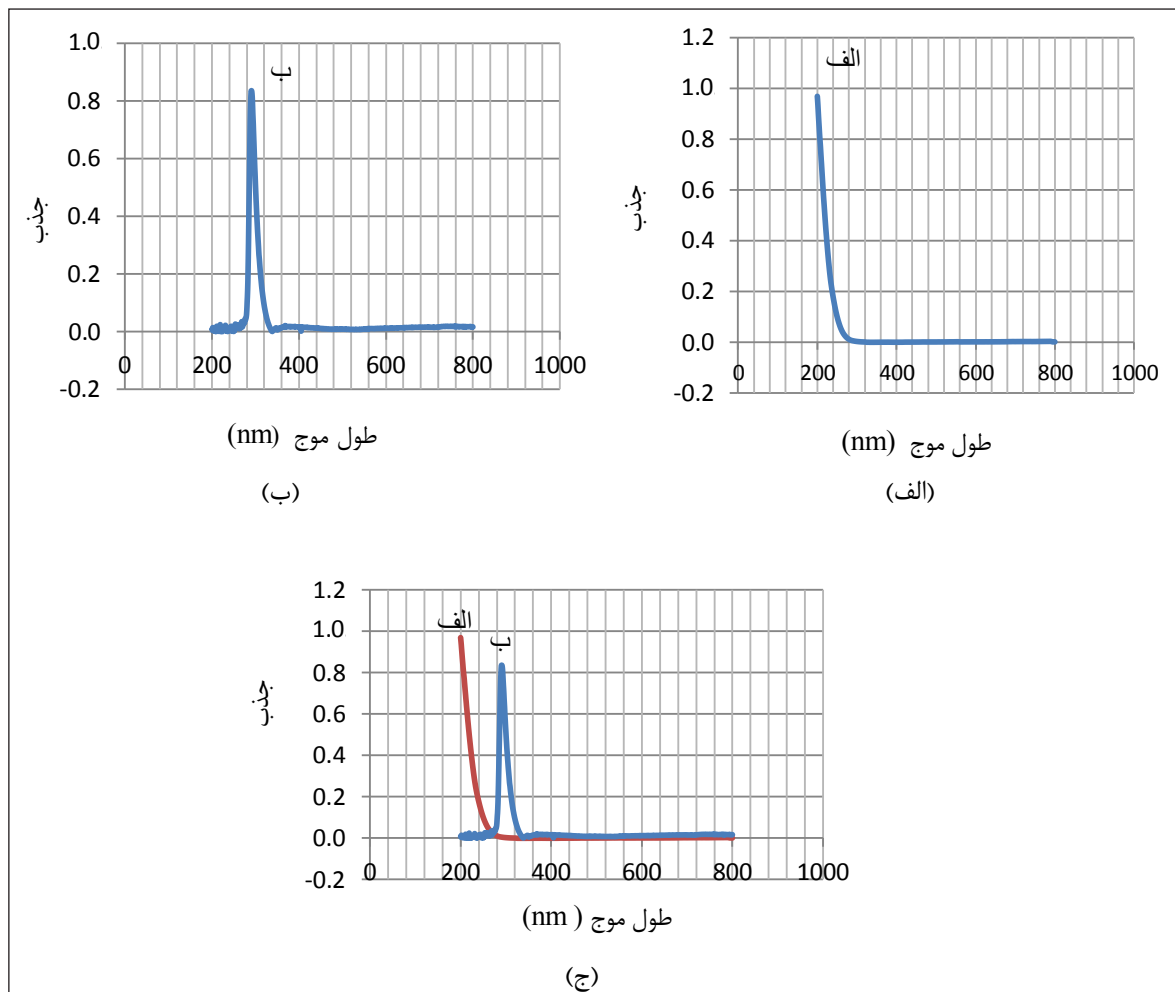
شکل ۶ تصویرهای میکروسکوپ الکترونی روبشی (SEM) از سطح نمونه‌ها (الف) سطح کروم قبل از قرار گرفتن لایه آلوده‌کننده سرب، (ب) و (ج) سطح کروم پس از قرار گرفتن لایه آلوده‌کننده سرب و (د) سطح کروم پس از فرایند پاکسازی

پاکسازی بدون حضور سرب و با حضور سرب را با هم تلفیق کرده (شکل ۷-ج) و نتیجه نشان می‌دهد که پیک به دست آمده در محلول پاکسازی با حضور سرب مربوط به کمپلکس Pb(EDTA) تشکیل شده در محلول است.

نتیجه گیری

با توجه به نتیجه‌های به دست آمده از این پژوهش می‌توان نتیجه گرفت که محلول پاک‌کننده پیشنهادی در این روش محلولی مناسب است که توانایی پاک کردن کامل آلودگی‌های سرب را از سطحهای سیلیسیم و کروم دارد بدون این که سطح پایه آسیب بینند. در این روش با استفاده از عامل کیلیت‌کننده (نمک

بررسی تشکیل کمپلکس $Pb(EDTA)$ اثبات تشکیل کمپلکس، مهم‌ترین مرحله در فرایند پاکسازی است زیرا اگر کمپلکس تشکیل نشود یون‌های Pb^{2+} روی سطح پایه باز جذب می‌شود که این امر باعث مختل شدن فرایند پاکسازی می‌شود [۱۰]. به منظور اثبات تشکیل کمپلکس ابتدا از محلول پاک‌کننده بدون حضور سرب طیف UV گرفته می‌شود همان‌طور که در شکل ۷-الف مشاهده می‌شود هیچ جذبی در ناحیه فرابنفش - مریب وجود ندارد، سپس از محلول مورد نظر با حضور سرب طیف UV گرفته می‌شود (شکل ۷-ب) نتیجه‌ها نشان می‌دهد که یک جذب تیز در طول موج ۲۹۲ nm با ضریب جذب ۸۲۵ ° وجود دارد. سپس طیف‌های بدست آمده از محلول



شکل ۷ طیف‌های فرابنفش-مربی محلول پاک‌کننده
(الف) طیف UV محلول پاک‌کننده بدون حضور سرب، (ب) طیف UV محلول پاک‌کننده با حضور سرب و (ج) نمودار تلفیق شده

مراجع

- [۱] فریمن، د. پ؛ فسفات کاری و آماده سازی سطوح فلزی، انتشارات آذرن، ایران؛ چاپ اول، صفحه ۶۷-۷۸؛ ۱۳۷۷.
- [۲] مفیدی، جمشید؛ اصول خوردگی و حفاظت فلزات، انتشارات دانشگاه تهران، ایران؛ چاپ دوم، صفحه ۳۲۵-۳۳۱؛ ۱۳۸۳.
- [۳] کشیری‌ها، محمود؛ ذیبیحی، حسین؛ آماده سازی سطوح فلزی، انتشارات دانشگاه صنعتی امیر کبیر، ایران؛ چاپ اول، صفحه ۵۷-۶۰؛ ۱۳۶۵.
- [۴] Gholivand, Kh; Khosravi, M; Hoseeeini,G;

دی سدیک اتیلن دی آمین تتر استیک اسید) کمپلکس پایداری ایجاد می‌شود که از باز جذب یون‌های آلوده‌کننده سرب بر سطح فلز پایه جلوگیری می‌کند. این ویژگی با استفاده از نتیجه‌های بهدست آمده از طیف‌های فرابنفش-مربی ثابت شد، همچنین، نیازی به استفاده از دما و غلظت‌های بسیار بالا وجود ندارد که این امر موجب می‌شود استفاده از فرایند پاکسازی با این شرایط در محیط‌های صنعتی راحت‌تر و از لحاظ اقتصادی مقرن به صرفه باشد.

- Fathollahi, M; Applied Surface Science; 256, 7456-7461; 2010.
- [5] Scheuerlein, C; Taborelli, M; Applied Surface Science; 252, 4279-4288; 2006.
- [6] Lu, Z; Lee, S-H; Matvejic, E; Journal of Colloid and Interface Science; 261, 55- 64; 2003.
- [7] Ryuta, J; Yashimi, T; Kando, H; Okunda, H; Shimanuk, Y; Japanese Journal of Applied Physics; 31, 2338-2342; 1992.
- [8] Fujiwara, N; Liu, Y; Nakamura, T; Maida, O; Takahashi, M; Kobayashi, H; Applied Surface Science; 235, 372-375; 2004.
- [9] Liu, Y; Fujiwara, N; Iwasa, H; Takahashi, M; Imai, Sh; Kobayashi, H; Surface Science; 600, 1165-1169; 2006.
- [10] Takahashi, M; Liu, Y; Narita, H; Kobayashi, H; Applied Surface Science; 245, 3715-3720; 2008.
- [11] Takahashi, M; Liu, Y; Fujiwara, N; Iwasa, H; Kobayashi, H; Solid State Communications; 137, 263-265; 2006.
- [12] Knepper, T.P; Trends in Analytical Chemistry; 22, 708-722; 2003.
- [13] Hung, M; Tia, CH; Journal of Materials Processing Technology; 110, 1-9; 2001.
- [14] Pourmortazavi, M; Fathollahi, M; Separation Science and Technology; 39, 1953-1965; 2004.